

Implementation of 1-hour algorithm to rule-out and rule-in acute myocardial infarction using a high-sensitivity cardiac troponin T assay.

ASO Siska Blomme
Supervisor: Dr. D. De Smet



INLEIDING

TNT-ASSAYS

ANALYITSCHE
PERFORMANTIE

DIAGNOSTISCHE
PERFORMANTIE

DIAGNOSTISCHE
ALGORITMES

3H PROTOCOL

1H PROTOCOL

TO DO'S

INLEIDING

TNT-ASSAYS

ANALYTISCHE
PERFORMANTIEDIAGNOSTISCHE
PERFORMANTIEDIAGNOSTISCHE
ALGORITMES

3H PROTOCOL

1H PROTOCOL

TO DO'S

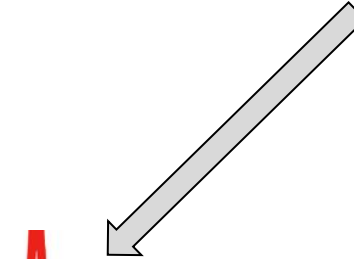
+/- 10% van de patiënten op de Spoedgevallen



Acute pijn op de borst

10-20%: myocard infarct (STEMI of NSTEMI)

80-90%: andere oorzaak



ED Overcrowding



Diagnosepijlers:
Kliniek
ECG
Troponine

1hour protocol?

INLEIDING

TNT-ASSAYS

ANALYTISCHE
PERFORMANTIEDIAGNOSTISCHE
PERFORMANTIEDIAGNOSTISCHE
ALGORITMES

3H PROTOCOL

1H PROTOCOL

TO DO'S

VRAAG 1

Wat is de diagnostische impact van het 1h protocol?

VRAAG 2

Welke analytische problemen brengt het 1h protocol met zich mee?

VRAAG 3

Wat is de meerwaarde van het 1h protocol?

INLEIDING

TNT-ASSAYS

ANALYTISCHE
PERFORMANTIEDIAGNOSTISCHE
PERFORMANTIEDIAGNOSTISCHE
ALGORITMES

3H PROTOCOL

1H PROTOCOL

TO DO'S

Troponine = belangrijkste biochemische marker voor AMI (*in deze CAT: troponine T*)

1991: eerste assay

1^e – 2^e – 3^e – 4^e generatie assays → Onvoldoende precisie in lage meetbereik5^e generatie assays: hs-cTn

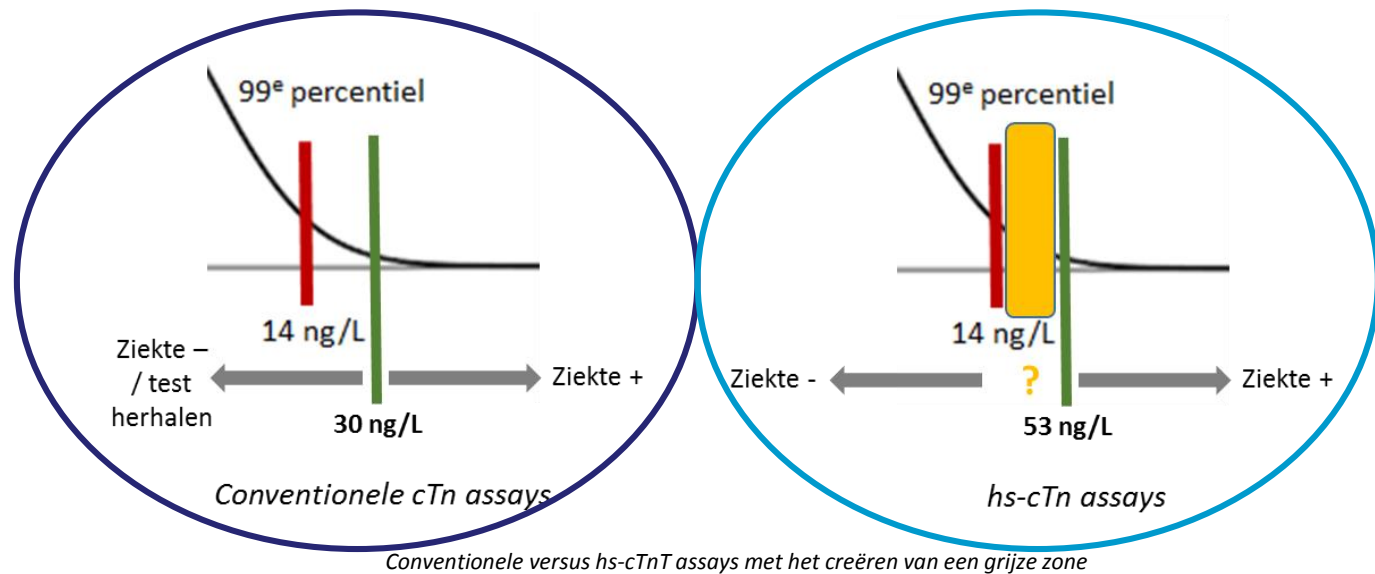
Hoge precisie in lage meetbereik

- CV < 10% t.h.v. 99^e percentiel
- Meetbaar in ≥50% van de gezonde populatie

POCT assays?



Onvoldoende sensitiviteit



Sens: hs-TnT > cTnT / Spec: hs-TnT < cTnT

INLEIDING

TNT-ASSAYS

ANALYTISCHE
PERFORMANTIE

DIAGNOSTISCHE
PERFORMANTIE

DIAGNOSTISCHE
ALGORITMES

3H PROTOCOL

1H PROTOCOL

TO DO'S

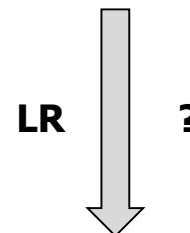
Hs-TnT

cTnT

Table 2. Results of Troponin Testing for Diagnosis of ACS

Analyte, Cut Point	Sensitivity (95% CI), %	Specificity (95% CI), %	PPV (95% CI), %	NPV (95% CI), %
Diagnostic accuracy for ACS in all patients (AUC_{hsTnT} : 0.79)				
hsTnT, 13 pg/mL	62 (47–78)*	89 (85–92)	38 (26–50)	96 (93–98)
cTnT, 0.01 ng/mL	49 (33–65)	97 (96–99)†	67 (49–84)	95 (92–97)
cTnT, 0.03 ng/mL	35 (20–50)	99 (96–99)†	72 (52–93)	93 (90–95)

Diagnostische performantie cTnT versus hs-cTnT (Januzzi Jr. et. al. 2010)



LH	Ziekte aanwezig	Ziekte afwezig
Test +	$TP / Z+ = Sn$	$FP / Z- = 1-Sp$
Test -	$FN / Z+ = 1-Sn$	$TN / Z- = Sp$

$$\frac{Sn}{1-Sp} \rightarrow LR+ = 35$$

$$\frac{1-Sn}{Sp} \rightarrow LR- = 0,66$$

$$LR+ = 5,64$$

$$LR- = 0,44$$

LR interpretatie

- 1: geen klinisch nut
- 2-5 of 0.2-0.5: klein verschil, kan in specifieke situatie nuttig zijn
- 5-10 of 0.1-0.2: matig maar substantieel verschil in pretest-posttest probabiliteit
- >10 of <0.1: klinisch belangrijk verschil in pretest-posttestprobabiliteit

INLEIDING

TNT-ASSAYS

ANALYTISCHE
PERFORMANTIEDIAGNOSTISCHE
PERFORMANTIEDIAGNOSTISCHE
ALGORITMES

3H PROTOCOL

1H PROTOCOL

TO DO'S

Sens: hs-TnT > cTnT / Spec: hs-TnT < cTnT**LR+ ('rule-in'): cTnT >> hs-TnT**

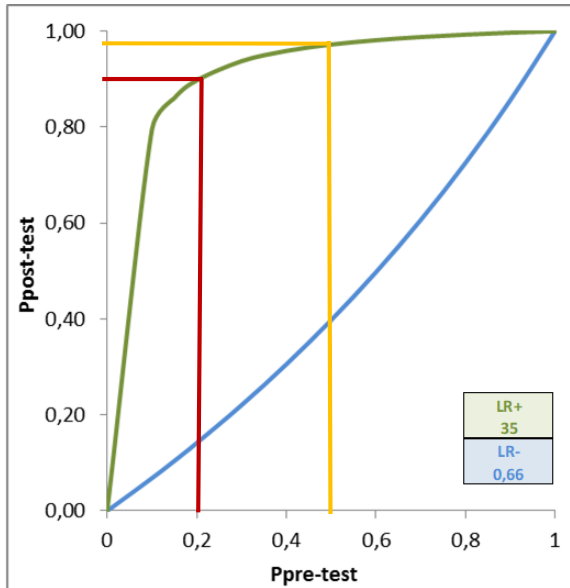
Posttestprobabiliteit



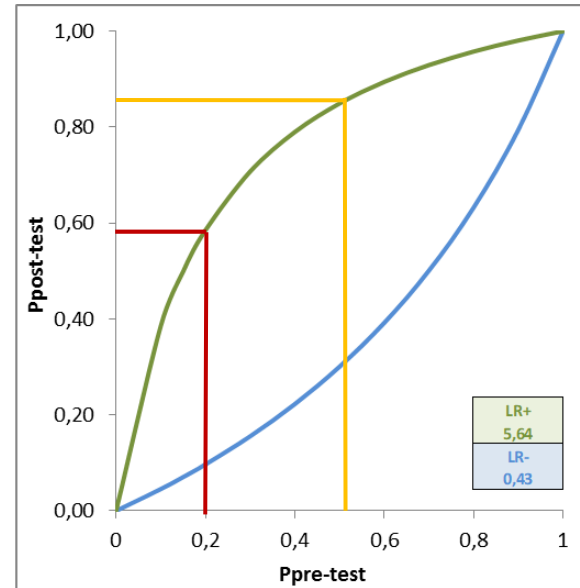
?

Lage pretestprobabiliteit

Hoge pretestprobabiliteit



cTnT: cut-off op 30 ng/L



Hs-cTnT: cut-off op 13 ng/L

Bayes Theorema toegepast op de data van Januzzi Jr. et.al. 2010.

INLEIDING

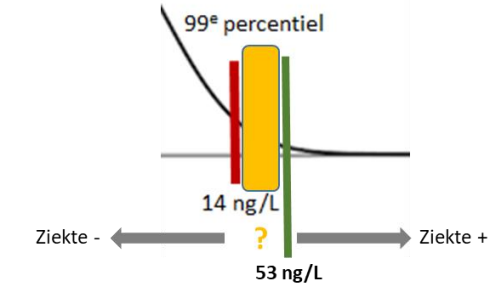
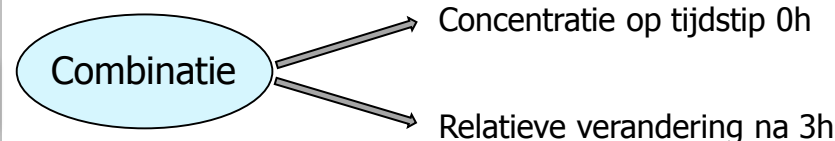
TNT-ASSAYS

ANALYTISCHE
PERFORMANTIEDIAGNOSTISCHE
PERFORMANTIEDIAGNOSTISCHE
ALGORITMES

3H PROTOCOL

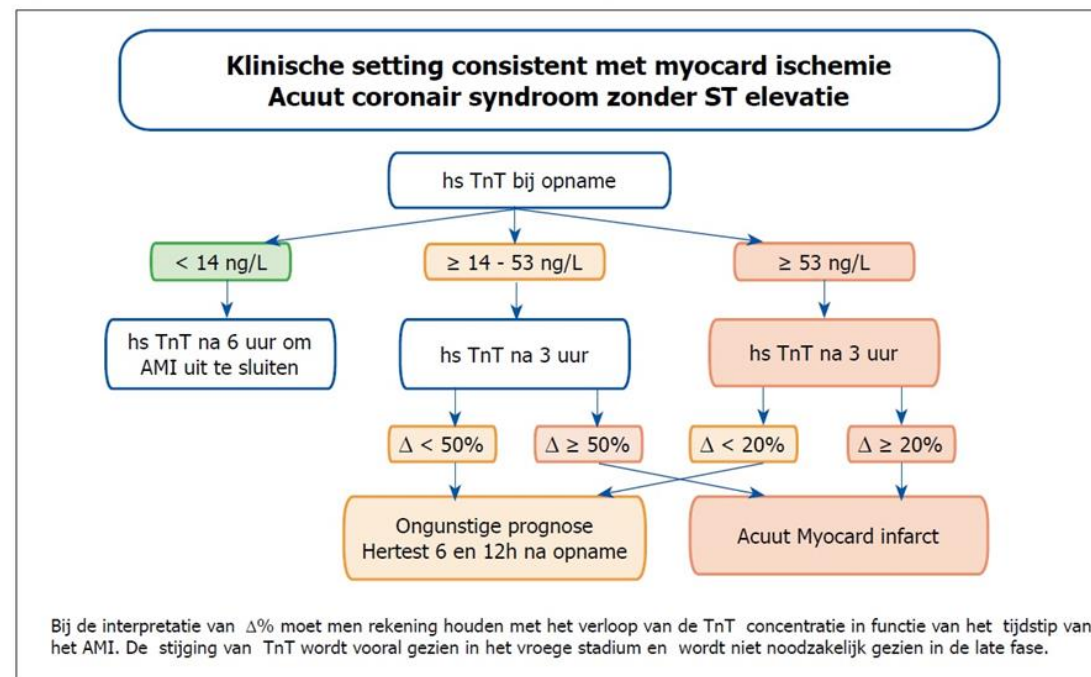
1H PROTOCOL

TO DO'S



- + Goede sensitiviteit, goede 'rule-in'
- Beperkte 'rule-out', uitval door lange wachttijden

Algoritme voor het gebruik van hs Troponine bepaling in de diagnose van Acuut Myocard infarct (H.D. White. Am Heart J. 2010;159: 933)



INLEIDING

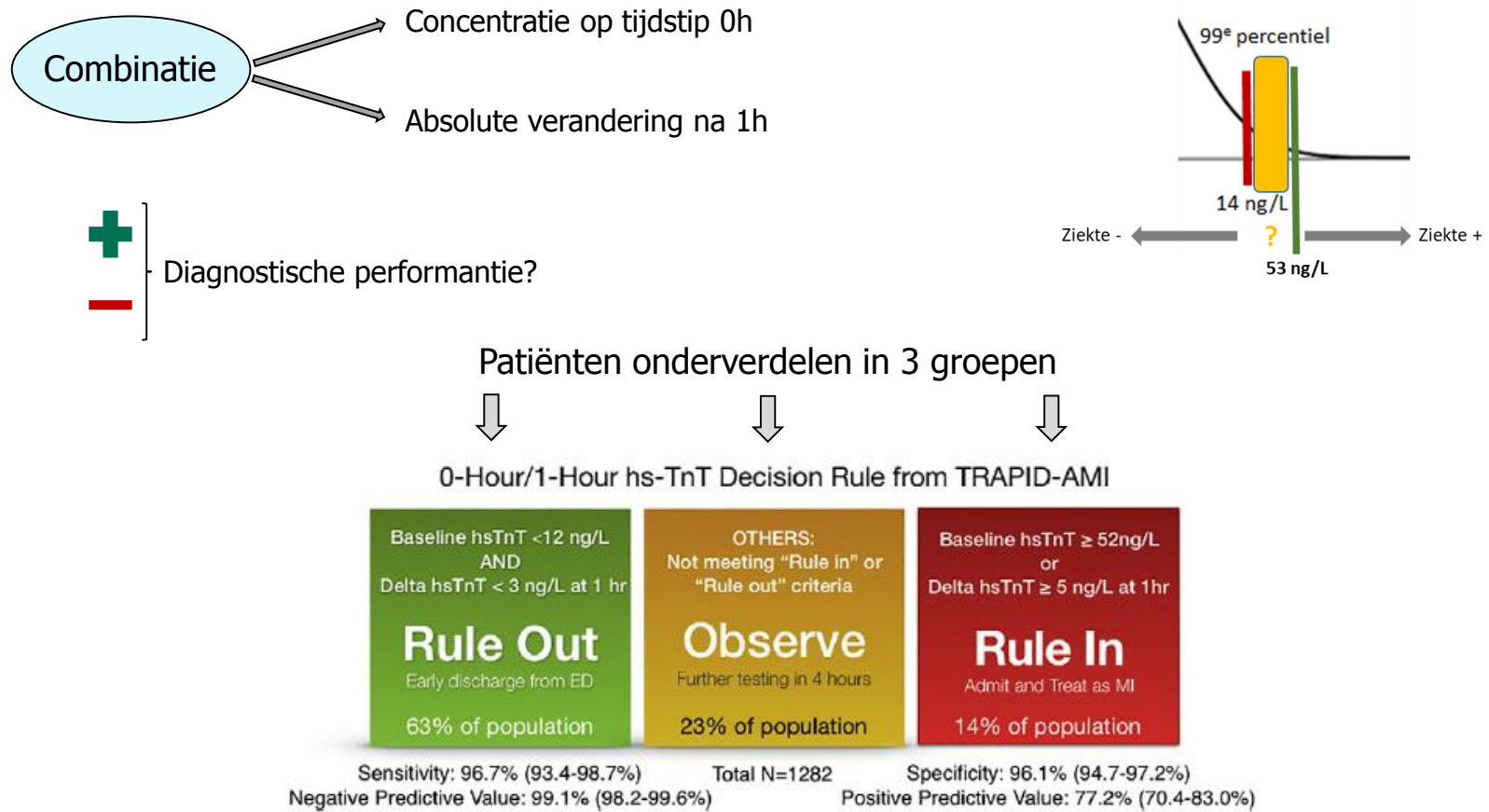
TNT-ASSAYS

ANALYTISCHE
PERFORMANTIEDIAGNOSTISCHE
PERFORMANTIEDIAGNOSTISCHE
ALGORITMES

3H PROTOCOL

1H PROTOCOL

TO DO'S



INLEIDING

TNT-ASSAYS

ANALYTISCHE
PERFORMANTIEDIAGNOSTISCHE
PERFORMANTIEDIAGNOSTISCHE
ALGORITMES

3H PROTOCOL

1H PROTOCOL

TO DO'S

Algoritme classificatie	Ziekte aanwezig	Ziekte afwezig	Totaal
Test+ ('rule-in')	142 (TP)	42 (TP)	184
Observatie zone (tijdelijke 'rule-in')	64	221	285
Test- ('rule-out')	7 FN)	806 (TN)	813
Totaal	213	1069	1282

Sensitiviteit: 96,7% ('rule-out') - Specificiteit: 96,1% ('rule-in')

	Ziekte aanwezig	Ziekte afwezig
Test +	TP	FP
Test -	FN	TN
	↓	↓
	$Sn = \frac{TP}{TP + FN}$	$Sp = \frac{TN}{TN + FP}$

NPV: 99,1% ('rule-out') - PPV: 77,1% ('rule-in')

	Ziekte aanwezig	Ziekte afwezig	
Test +	TP	FP	$PV(+) = \frac{TP}{TP + FP}$
Test -	FN	TN	$PV(-) = \frac{TN}{TN + FN}$

Table 2. Two×two tables and calculation of negative and positive predictive value, as well as sensitivity and specificity for the rule-out and rule-in of myocardial infarction.**A, Algorithm classification versus adjudicated diagnosis.**

Algorithm Classification	AMI	Non-AMI	Total
Rule-out status	7	806	813
Observational zone	64	221	285
Rule-in status	142	42	184
Total	213	1,069	1,282

AMI, Acute myocardial infarction.

B, Negative and positive predictive value.

Diagnostic Test	Performance Measures	Estimate, %	95% CI	Counts
NPV		99.14	98.23–99.65	806/813
PPV		77.17	70.42–83.03	142/184

NPV, Negative predictive value; PPV, positive predictive value.

C, Sensitivity and specificity.*

Diagnostic Test	Performance Measures	Estimate, %	95% CI	Counts
Sensitivity in the rule-out zone		96.71	93.35–98.67	206/213
Specificity in the rule-in zone		96.07	94.73–97.15	1,027/1,069

*Sensitivity: true positive/diseased (AMI). The rule-out zone defines patients with no AMI according to the 0-hour/1-hour hs-cTnT algorithm. Only patients in this zone are ruled out. Accordingly, for the rule-out it is irrelevant whether patients are in the observational zone or the rule-in zone, and both zones are combined. True positive=206; diseased (AMI)=213; sensitivity=96.71%. Specificity: true negative/non-diseased (non-AMI). The rule-in zone defines patients with AMI according to the 0-hour/1-hour hs-cTnT algorithm. Only patients in this zone are ruled in. Accordingly, for the rule-in it is irrelevant whether patients are in the observational zone or the rule-out zone, and both zones are combined. True negative=1,027; non-diseased (non-AMI)=1,069; specificity=96.07%.

2016 Multicenter evaluation of a 0-hour/1-hour algorithm in the diagnosis of myocardial infarction with high-sensitivity cardiac troponin T. C. Mueller et al. Annals of Emergency Medicine.

INLEIDING

TNT-ASSAYS

ANALYTISCHE
PERFORMANTIEDIAGNOSTISCHE
PERFORMANTIEDIAGNOSTISCHE
ALGORITMES

3H PROTOCOL

1H PROTOCOL

TO DO'S

Algoritme classificatie	Ziekte aanwezig	Ziekte afwezig	Totaal
Test+ ('rule-in')	142 (TP)	42 (TP)	184
Observatie zone (tijdelijke 'rule-in')	64	221	285
Test- ('rule-out')	7 FN)	806 (TN)	813
Totaal	213	1069	1282

Table 2. Two×two tables and calculation of negative and positive predictive value, as well as sensitivity and specificity for the rule-out and rule-in of myocardial infarction.

A, Algorithm classification versus adjudicated diagnosis.

Algorithm Classification	AMI	Non-AMI	Total
Rule-out status	7	806	813
Observational zone	64	221	285
Rule-in status	142	42	184
Total	213	1,069	1,282

2016 Multicenter evaluation of a 0-hour/1-hour algorithm in the diagnosis of myocardial infarction with high-sensitivity cardiac troponin T. C. Mueller et al. Annals of Emergency Medicine.

Likelihoods (LH)

LH	Ziekte aanwezig	Ziekte afwezig
Test +	$TP / Z+ = Sn$	$FP / Z- = 1-Sp$
Test -	$FN / Z+ = 1-Sn$	$TN / Z- = Sp$
LH	Ziekte aanwezig	Ziekte afwezig
Test +	0.667 (142/213)	0.039 (42/1069)
Test -	0,033 (7/213)	0.754 (806/1069)



Likelihoodratio's (LR)

	Ziekte aanwezig	Ziekte afwezig	
Test +	TP / Z+	FP / Z-	$LR(+) = \frac{TP / Z+}{FP / Z-} = \frac{142 / 213}{42 / 1069} = 17$
Test -	FN / Z+	TN / Z-	$LR(-) = \frac{FN / Z+}{TN / Z-} = \frac{7 / 213}{806 / 1069} = 0.04$

"Positieve likelihood ratio "

"Negatieve likelihood ratio"

LR interpretatie

- 1: geen klinisch nut
- 2-5 of 0.2-0.5: klein verschil, kan in specifieke situatie nuttig zijn
- 5-10 of 0.1-0.2: matig maar substantieel verschil in pretest-posttest probabilitet
- >10 of <0.1: klinisch belangrijk verschil in pretest-posttestprobabiliteit

INLEIDING

TNT-ASSAYS

ANALYTISCHE
PERFORMANTIEDIAGNOSTISCHE
PERFORMANTIEDIAGNOSTISCHE
ALGORITMES

3H PROTOCOL

1H PROTOCOL

TO DO'S

Posttestprobabiliteit

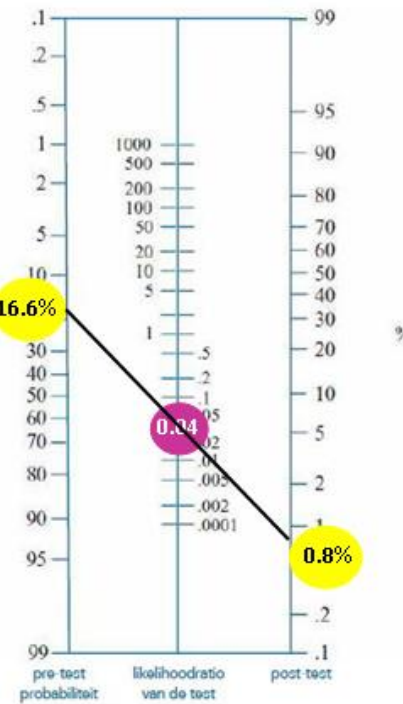
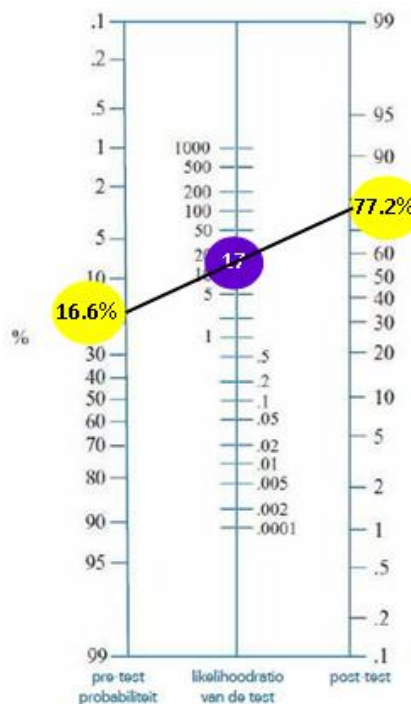
$$P_{\text{POST}} = \frac{LR \cdot P_{\text{PRE}}}{1 + (LR - 1) \cdot P_{\text{PRE}}}$$

Pretestprobabiliteit

Likelihoodratio's

Algoritme classificatie	Ziekte aanwezig	Ziekte afwezig	Total
Test+ ('rule-in')	142 (TP)	42 (TP)	184
Observatie zone (tijdelijke 'rule-in')	64	221	285
Test- ('rule-out')	7 FN	806 (TN)	813
Totaal	213	1069	1282

	AMI	Geen AMI	LR	95%CI
Rule-out	7	806	0,0436	[0,0210 - 0,0904]
Observatie	64	221	1,453	[1,148 - 1841]
Rule-in	142	42	16,968	[12,429 - 23,164]



INLEIDING

TNT-ASSAYS

ANALYTISCHE
PERFORMANTIEDIAGNOSTISCHE
PERFORMANTIEDIAGNOSTISCHE
ALGORITMES

3H PROTOCOL

1H PROTOCOL

TO DO'S

Posttestprobabiliteit

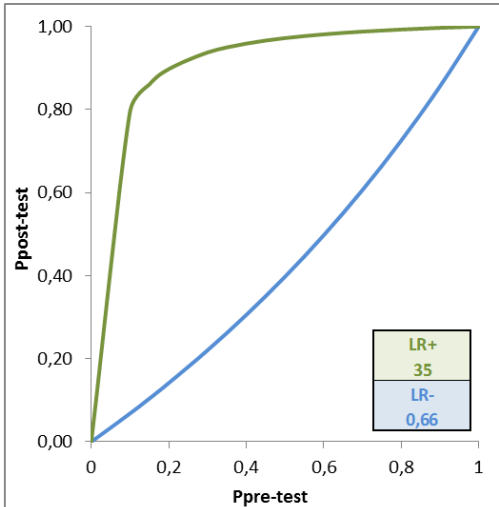
$$P_{\text{POST}} = \frac{LR \cdot P_{\text{PRE}}}{1 + (LR - 1) \cdot P_{\text{PRE}}}$$

Pretestprobabiliteit

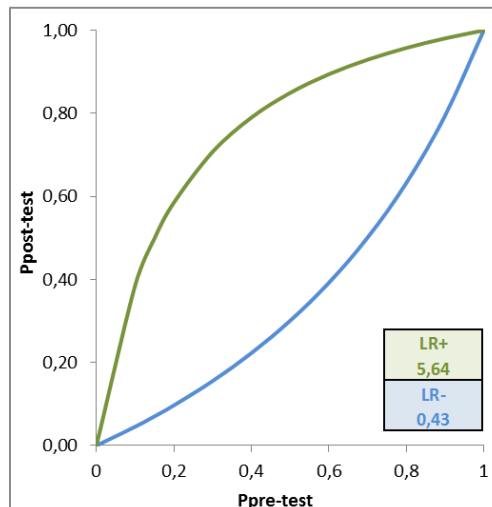
Likelihoodratio's

Algoritme classificatie	Ziekte aanwezig	Ziekte afwezig	Total
Test+ ('rule-in')	142 (TP)	42 (TP)	184
Observatie zone (tijdelijke 'rule-in')	64	221	285
Test- ('rule-out')	7 (FN)	806 (TN)	813
Totaal	213	1069	1282

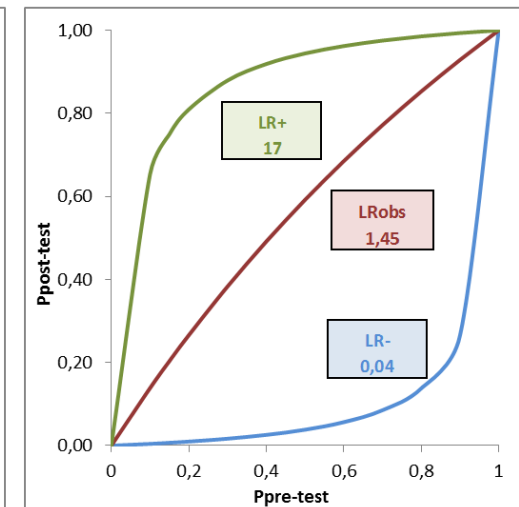
	AMI	Geen AMI	LR	95%CI
Rule-out	7	806	0,0436	[0,0210 - 0,0904]
Observatie	64	221	1,453	[1,148 - 1841]
Rule-in	142	42	16,968	[12,429 - 23,164]



Als Ppre = 16.6%:

Ppost voor LR+ = 87%
Ppost voor LR- = 12%

Als Ppre = 16.6%:

Ppost voor LR+ = 53%
Ppost voor LR- = 8%

Als Ppre = 16.6%:

Ppost voor LR+ = 77%
Ppost voor LR- = 0.8%
Ppost voor LRobs = 22%

INLEIDING

TNT-ASSAYS

ANALYTISCHE
PERFORMANTIEDIAGNOSTISCHE
PERFORMANTIEDIAGNOSTISCHE
ALGORITMES

3H PROTOCOL

1H PROTOCOL

TO DO'S

Posttestprobabiliteit

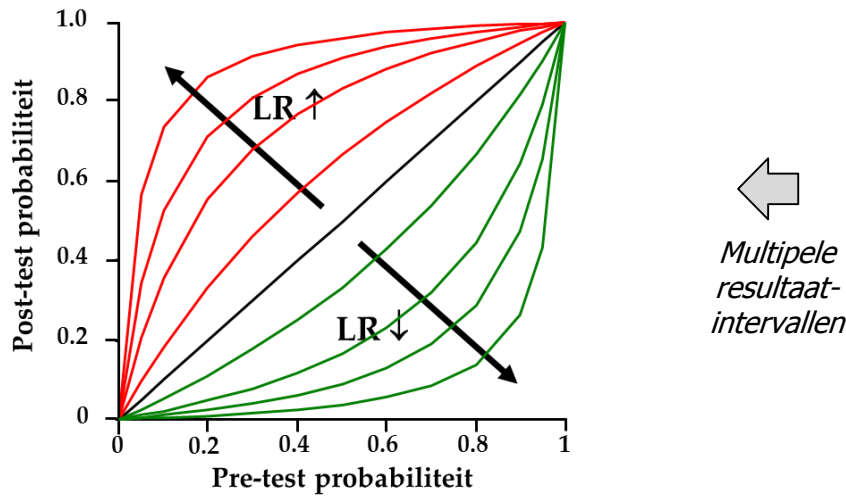
$$P_{\text{POST}} = \frac{LR \cdot P_{\text{PRE}}}{1 + (LR - 1) \cdot P_{\text{PRE}}}$$

Pretestprobabiliteit

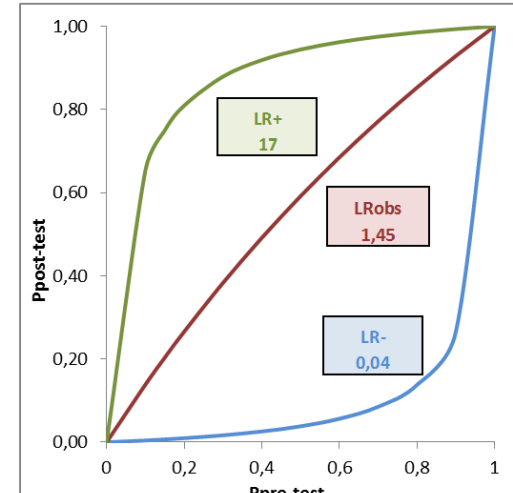
Likelihoodratio's

Algoritme classificatie	Ziekte aanwezig	Ziekte afwezig	Total
Test+ ('rule-in')	142 (TP)	42 (TP)	184
Observatie zone ('tijdelijke rule-in')	64	221	285
Test- ('rule-out')	7 (FN)	806 (TN)	813
Totaal	213	1069	1282

	AMI	Geen AMI	LR	95%CI
Rule-out	7	806	0,0436	[0,0210 - 0,0904]
Observatie	64	221	1,453	[1,148 - 1841]
Rule-in	142	42	16,968	[12,429 - 23,164]



	Ziekte +	Ziekte -	
Rule-in	142	42	→ LR = 17
Observatie: 'tijdelijke rule-in'	64	221	→ LR = 1,45



Als $P_{\text{pre}} = 16.6\%:$
 $P_{\text{post}} \text{ voor } LR+ = 77\%$
 $P_{\text{post}} \text{ voor } LR- = 0.8\%$
 $P_{\text{post}} \text{ voor } LRob = 22\%$

INLEIDING

TNT-ASSAYS

ANALYTISCHE
PERFORMANTIEDIAGNOSTISCHE
PERFORMANTIEDIAGNOSTISCHE
ALGORITMES

3H PROTOCOL

1H PROTOCOL

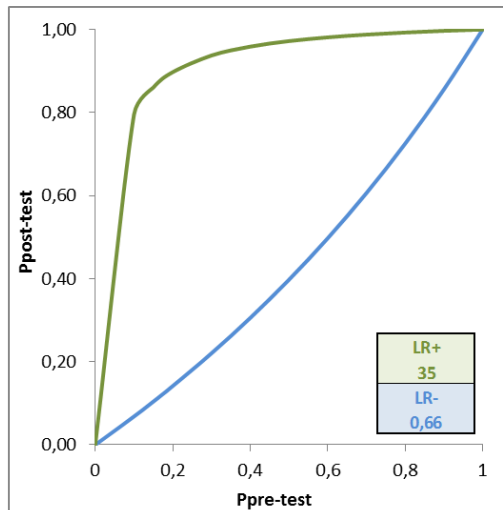
TO DO'S

Antwoord vraag 1

Wat is de diagnostische impact van het 1h protocol?

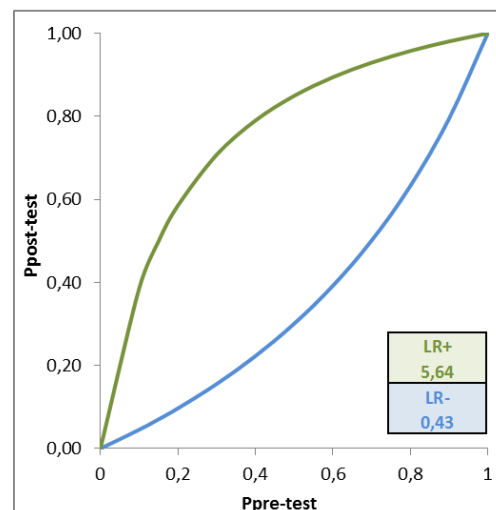
Sensitiviteit: 96,7% ('rule-out') - Specificiteit: 96,1% ('rule-in')

NPV: 99,1% ('rule-out') - PPV: 77,1% ('rule-in')



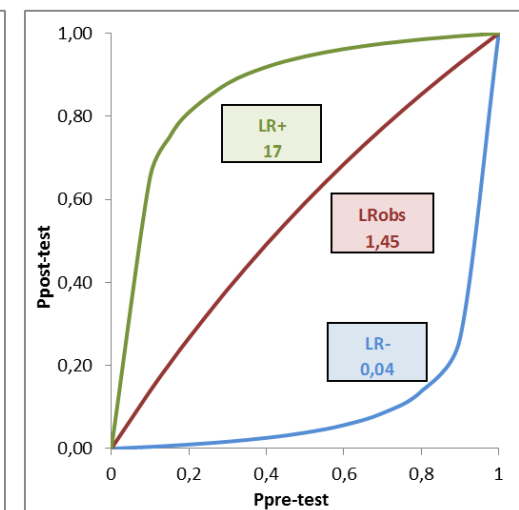
cTnT: cut-off op 30 ng/L

Als P_{pre} = 16.6%:
 P_{post} voor LR+ = 87%
 P_{post} voor LR- = 12%



Hs-cTnT: cut-off op 13 ng/L

Als P_{pre} = 16.6%:
 P_{post} voor LR+ = 53%
 P_{post} voor LR- = 8%



1h protocol

Als P_{pre} = 16.6%:
 P_{post} voor LR+ = 77%
 P_{post} voor LR- = 0.8%
 P_{post} voor LRob = 22%

INLEIDING

TNT-ASSAYS

ANALYTISCHE
PERFORMANTIEDIAGNOSTISCHE
PERFORMANTIEDIAGNOSTISCHE
ALGORITMES

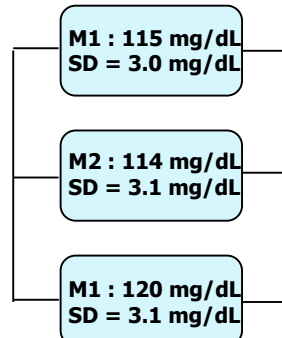
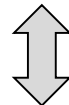
3H PROTOCOL

1H PROTOCOL

TO DO'S

1 toestel

CVw



Vb.glucose

$$\begin{aligned} CV_{ricos} &= 5.7\% \\ CV_1 &= 2.6\% < 2.85\% \\ CV_2 &= 2.7\% < 2.85\% \\ CV_3 &= 2.6\% < 2.85\% \end{aligned}$$

$$\begin{aligned} M_{as} &= \sum_i f_i m_i \\ SD_{as} &= \sqrt{\sum_i f_i SD_i^2 + \sum_i f_i (M_i - M_{as})^2} \\ CV_{as}(\%) &= 100 \left(\frac{SD_{as}}{M_{as}} \right) \\ f_1 &= f_2 = f_3 = 1/3 \end{aligned}$$

Geautomatiseerd systeem
met meerdere identieke
modules

CVas < 0.5 * CVw

0-Hour/1-Hour hs-TnT Decision Rule from TRAPID-AMI

Baseline hsTnT <12 ng/L
AND
Delta hsTnT < 3 ng/L at 1 hr

Rule Out
Early discharge from ED
63% of population

OTHERS:
Not meeting "Rule in" or
"Rule out" criteria

Observe
Further testing in 4 hours
23% of population

Baseline hsTnT ≥ 52ng/L
or
Delta hsTnT ≥ 5 ng/L at 1 hr

Rule In
Admit and Treat as MI
14% of population

Sensitivity: 96.7% (93.4-98.7%)
Negative Predictive Value: 99.1% (98.2-99.6%)
Total N=1282
Specificity: 96.1% (94.7-97.2%)
Positive Predictive Value: 77.2% (70.4-83.0%)

Kleine verschillen moeten meetbaar zijn: mag niet te wijten zijn
aan analytische fouten!

INLEIDING

TNT-ASSAYS

ANALYTISCHE PERFORMANTIE

DIAGNOSTISCHE PERFORMANTIE

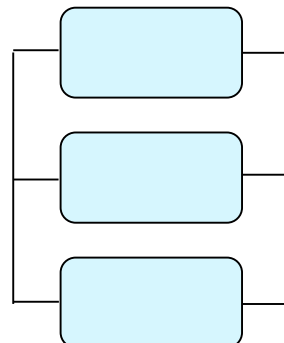
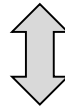
DIAGNOSTISCHE ALGORITMES

3H PROTOCOL

1H PROTOCOL

TO DO'S

1 toestel

CVw

Geautomatiseerd systeem
met meerdere identieke
modules

CVas < 0.5 * CVw

0-Hour/1-Hour hs-TnT Decision Rule from TRAPID-AMI

Baseline hsTnT <12 ng/L
AND
Delta hsTnT < 3 ng/L at 1 hr

Rule Out
Early discharge from ED
63% of population

OTHERS:
Not meeting "Rule in" or
"Rule out" criteria

Observe
Further testing in 4 hours
23% of population

Baseline hsTnT ≥ 52ng/L
or
Delta hsTnT ≥ 5 ng/L at 1 hr

Rule In
Admit and Treat as MI
14% of population

Sensitivity: 96.7% (93.4-98.7%)

Negative Predictive Value: 99.1% (98.2-99.6%)

Total N=1282

Specificity: 96.1% (94.7-97.2%)

Positive Predictive Value: 77.2% (70.4-83.0%)

Kleine verschillen moeten meetbaar zijn: mag niet te wijten zijn
aan analytische fouten!

Stalen van éénzelfde patiënt altijd over zelfde module?

Wat met negatieve verandering na 1h?

Praktisch: etiketensysteem, stiptheid op spoed, tubes markeren,...?



?

INLEIDING

TNT-ASSAYS

ANALYTISCHE
PERFORMANTIEDIAGNOSTISCHE
PERFORMANTIEDIAGNOSTISCHE
ALGORITMES

3H PROTOCOL

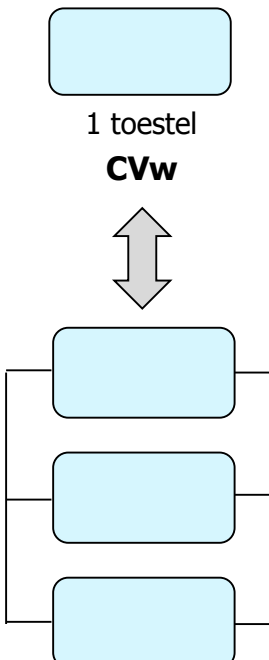
1H PROTOCOL

TO DO'S

Antwoord vraag 2

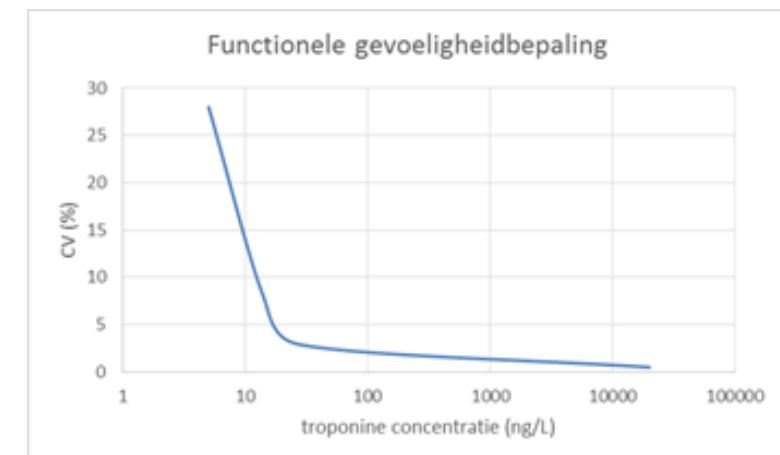
Welke analytische problemen brengt het 1h protocol met zich mee?

Hoe streng zullen we moeten zijn?



Geautomatiseerd systeem met
meerdere identieke modules

$$\mathbf{CV_{as} < 0.5 * CV_w}$$



Effectiviteit

INLEIDING

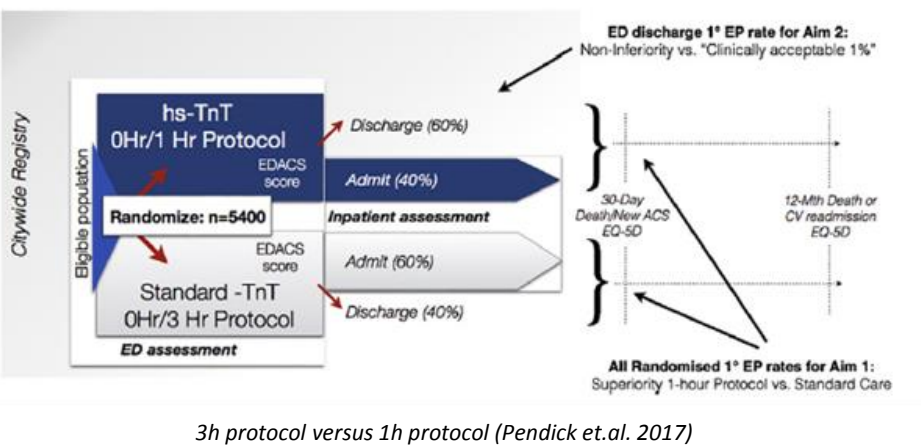
TNT-ASSAYS

ANALYTISCHE
PERFORMANTIEDIAGNOSTISCHE
PERFORMANTIEDIAGNOSTISCHE
ALGORITMES

3H PROTOCOL

1H PROTOCOL

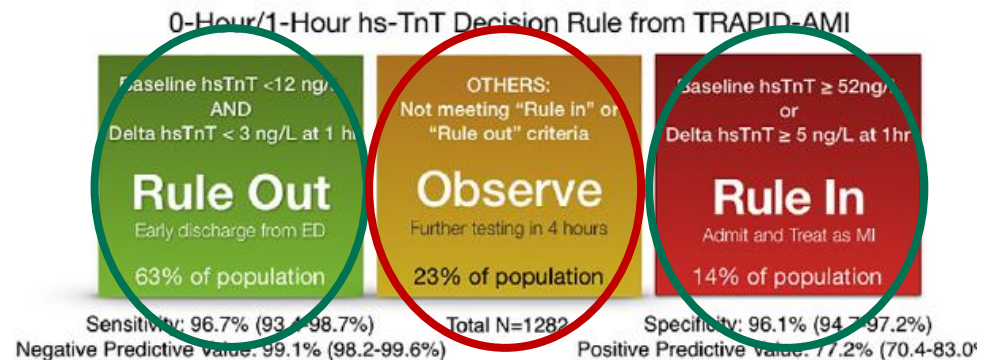
TO DO'S



- Hoger % in de 'rule-out'
- Betere definitie van de 'rule-in'
- Nood aan individuele inschatting van de pretestprobabiliteit a.d.h.v. risicoscore.
- Vanaf welke posttestprobabiliteit een behandeling starten?

Duidelijkheid

Diagnostische mist opklaren



Snelheid

3h protocol



1h protocol

INLEIDING

TNT-ASSAYS

ANALYTISCHE
PERFORMANTIE

DIAGNOSTISCHE
PERFORMANTIE

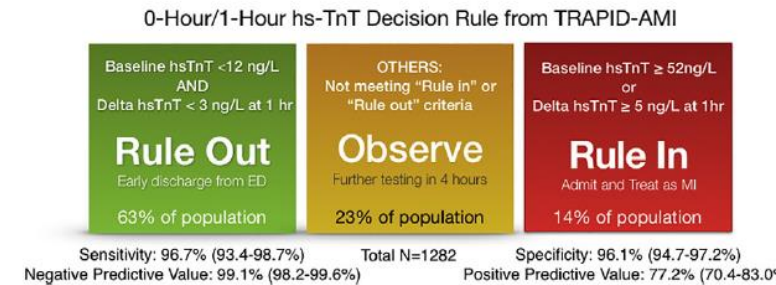
DIAGNOSTISCHE
ALGORITMES

3H PROTOCOL

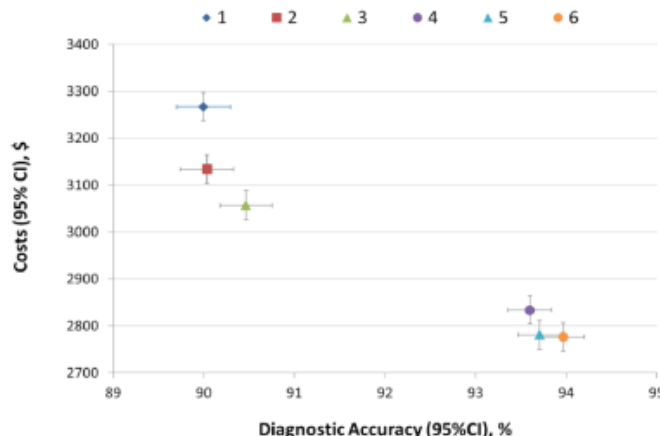
1H PROTOCOL

TO DO'S

Niet-invasieve aanpak



Kostenbatenanalyse



INLEIDING

TNT-ASSAYS

ANALYTISCHE
PERFORMANTIEDIAGNOSTISCHE
PERFORMANTIEDIAGNOSTISCHE
ALGORITMES

3H PROTOCOL

1H PROTOCOL

TO DO'S

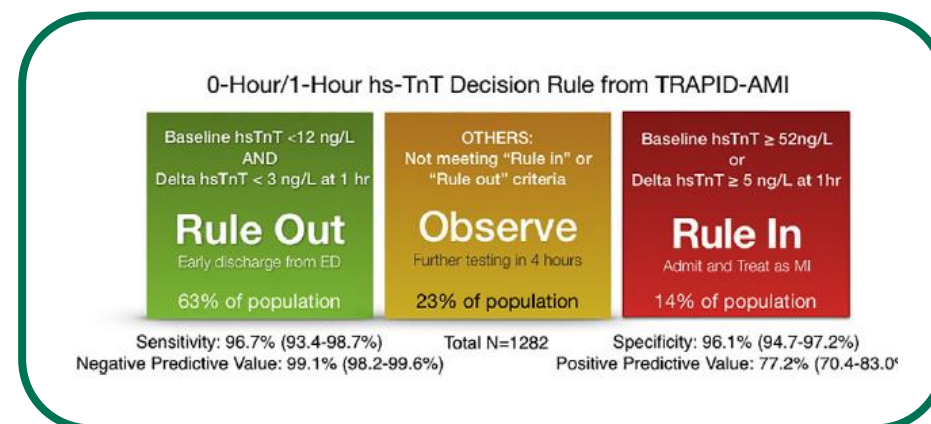
Antwoord vraag 3

Wat is de meerwaarde van het 1h protocol?

Effectief

Duidelijk

Snel



Mogelijkheid tot niet-invasieve benadering

Kostenbesparend

Studie zal opgestart worden:

INLEIDING

TNT-ASSAYS

ANALYTISCHE
PERFORMANTIE

DIAGNOSTISCHE
PERFORMANTIE

DIAGNOSTISCHE
ALGORITMES

3H PROTOCOL

1H PROTOCOL

TO DO'S

Bevestigen meetbaarheid lage concentraties met een CV onder de 10%.

Functionele gevoelighedsbepaling voor al onze verschillende analyzers tot n=6 om te achterhalen of het 1h protocol haalbaar is in een multimodale setting.

Bijkomende studies zijn nodig:

Om de 'outcome' te bestuderen om op die manier te kunnen inschatten welke posttestprobabiliteit voldoende hoog is om een behandeling te starten. Want belangrijker dan het verbeteren van de test zelf, is het verbeteren van de interpretatie ervan.



INLEIDING

TNT-ASSAYS

ANALYITSCHE
PERFORMANTIEDIAGNOSTISCHE
PERFORMANTIEDIAGNOSTISCHE
ALGORITMES

3H PROTOCOL

1H PROTOCOL

TO DO'S

1. Reviews

- [1] Dalal J.J. et. al. 2016. Time to shift from contemporary to high-sensitivity cardiac troponin in diagnosis of acute coronary syndromes. Indian Heart Journal, 68, p851-855.
- [4] Marini M.G., et. al. 2013. Increasing specificity of high-sensitivity troponin: New approaches and perspectives in the diagnosis of acute coronary syndromes. Journal of cardiology, 62, p205-209
- [5] Kozinski M., et. al. 2016. High-sensitivity cardiac troponin assays: from improved analytical performance to enhanced risk stratification. Clinical laboratory science, 54 (3), p143-172.
- [7] Hollander J.E. et. al. 2016. Managing troponin testing. Annals of Emergency medicine, 68 (6), p690-694.
- [11] Galli C., et.al. 2016. High-sensitivity cardiac troponin testing in routine practice: economic and organizational advantages. Annals of Translational Medicine, 4 (13), p257-267.

2. Original Articles

- [2] Jaeger C.J. et. al. 2015. One-hour rule-in and rule-out of acute myocardial infarction using high-sensitivity cardiac troponin I. American Heart Journal, 171 (1) p92-102.
- [3] Mohsen M., et. al. 2015. The diagnostic utility of high-sensitivity cardiac troponin T in acute coronary syndrome. The Egyptian Heart Journal, 68, p1-9
- [6] Apple F.S., et.al. 2012. Determination of 19 cardiac troponin I and T assay 99the percentile values from a common presumably healthy population. Clinical Chemistry, 58 (11), p1574-1581.
- [8] Kitamura M., et. al. 2013. High-sensitivity cardiac troponin T for earlier diagnosis of acute myocardial infarction in patients with initially negative troponin T test – comparison between cardiac markers. Journal of cardiology, 62, p336-342
- [10] Nowak R., et.al. 2017. High sensitivity cardiac troponin T in patients not having an acute coronary syndrome: results from the TRAPID-AMI study. Biomarkers, 22 (8), p709-714.
- [14] Januzzi J.L., et.al. 2010. High-sensitivity troponin T concentrations in acute chest pain patients evaluated with cardiac computed tomography. Circulation, 16, p1227-1234
- [17] White H.D. 2010. Higher sensitivity troponin levels in the community: what do they mean and how will the diagnosis of myocardial infarction be made? Am. Heart Journal, 159, p933-937.
- [18] Wildi K., et.al. 2016. Safety and efficacy of the 0h/3h protocol for rapid rule out of myocardial infarction. Am Heart J, 181: p16-25.
- [19] Biener M., et.al. 2012. Comparison of a 3-hour versus a 6-hour sampling-protocol using high-sensitivity cardiac troponin T for rule-out and rule-in of non-STEMI in an unselected emergency department population. International journal of cardiology, 167, p1134-1140.
- [20] Ferenick M., et.al. 2017. High-Sensitivity Cardiac Troponin I as a Gatekeeper for Coronary Computed Tomography Angiography and Stress Testing in Patients with Acute Chest Pain, Clinchem.
- [21] Pendick C., et. al. 2017. A randomized trial of a 1-hour troponin T protocol in suspected acute coronary syndromes: design of the rapid assessment of possible ACS in the emergency department with high sensitivity troponin T (RAPID-TnT) study. American Heart Journal,
- [22] Reichlin T. et. al. 2015. Prospective validation of a 1-hour algorithm to rule-out and rule-in acute myocardial infarction using a high-sensitivity cardiac troponin T assay. CMAJ, 187 (8), p243-252.
- [23] Mueller C., et.al. 2015. Multicenter evaluation of a 0-hour/1-hour algorithm in the diagnosis of myocardial infarction with high-sensitivity cardiac troponin T. Annals of emergency medicine.
- [24] Reichlin T., et.al. 2011. Utility of absolute and relative changes in cardiac troponin concentrations in the early diagnosis of acute myocardial infarction. Circulation, 12, p1-13.
- [25] Breiman L., 1984. Classification and regression trees. Belmont, Calif: Wadsworth International group.
- [26] Cervellin G., et. al. 2016. Diagnostic algorithms for a acute coronary syndrome – is one better than another? Ann. Transl. Med, 4 (10), p193-199.
- [27] Mokhtari A., et. al. 2017. A 0-hour/1-hour protocol for safe, early discharge of chest pain patients. Academic Emergency medicine, 24 (8), p983-993.
- [29] Reichlin T., et. al. 2015. Baseline plus 1-hour high-sensitivity cardiac troponin T improves early rule-out and rule-in of acute MI. CMAJ, 187, p243-253.
- [30] Gimenez M.R., et. al. 2015. One-hour rule-in and rule-out of acute myocardial infarction using high-sensitivity cardiac troponin I. The American Journal of medicine, 128 (8), p861-870.
- [33] Yau A.A., et.al. 2017. The HEART pathway and hospital cost savings. Crit Pathways in Cardiol, 16, p1226-128.
- [36] Jülicher P., et.al. 2017. The organizational value of diagnostic strategies using high-sensitivity troponin for patients with possible acute coronary syndromes: a trial-based cost-effectiveness analysis. BMJ Open, 7, p1-11
- [37] Forberg J.L., et.al. 2006. Direct hospital costs of chest pain patients attending the emergency department: a retrospective study. BMC Emergency medicine 6, p6-13.

3. Guidelines and Recommendations

- [28] Roffi M., et. al. 2015. ESC Guidelines for the management of acute coronary syndromes in patients presenting without persistent ST-segment elevation. European Heart Journal

4. Other

- [9] Apple F.S. 2009. A new season for cardiac troponin assays: it's time to keep a scorecard. Clinical chemistry, 55 (7), p1303-1306.
- [12] Bossuyt X. 2016. Wegwijzer in laboratoriumdiagnostiek, Acco, België, p544
- [13] Vermeersch P. 2011. Beoordelen en rapporteren van de diagnostische performantie van laboratoriumtesten.
- [15] Diamond G.A., et.al. 2010. How would the reverend Bayes interpret high-sensitivity troponin? Circulation, 121,p1172-1175
- [16] Jaffe A.S. High sensitivity cardiac troponin assays. Chaos in the ED?
- [31] Parvin C.A., et. al. 2013. Analytical assessment in the clinical laboratory. Advance for Administrators of the laboratory, 20 (1), p28-30.
- [32] Richards G., et. al. 2017. Reducing chest pain admissions using a 1 hour high-sensitivity troponin-T pathway. Heartjnl.
- [34] Heartflow. www.heartflow.com
- [35] Kumar Sahu D., et. al. 2017. Health-economics of measuring high-sensitive cardiac troponin at different cut-offs in non-ST segment elevation myocardial infarction patients within 6 hours from emergency room presentation. JACC, 69 (11), p 245

INLEIDING

TNT-ASSAYS

ANALYITSCHE
PERFORMANTIE

DIAGNOSTISCHE
PERFORMANTIE

DIAGNOSTISCHE
ALGORITMES

3H PROTOCOL

1H PROTOCOL

TO DO'S

**Bedankt voor uw aandacht!
Vragen?**

